

V-28 急速砂ろ過槽の逆洗浄による砂戸の清浄化特性

山梨大学工学部 正員 畿 嶽

I. 一般的考察 急速砂ろ過槽の洗浄効果についてはフロック汚泥の除去が根本問題であるが、この考察において砂粒の附着汚泥を“1次汚泥”（砂粒表面に吸着されている汚泥）と“2次汚泥”（砂面にない状態で、砂戸間げきをみなし、ならばに砂粒の被覆汚泥中一次汚泥を除く部分で前者よりも強さが低いと考えられる汚泥部分）から成ると考え、砂戸の汚泥の除去過程をこの2部分の除去に区別して各“1次除去”，“2次除去”と呼ぶこととする。2次除去では洗浄水流せん断作用が生じ砂粒の衝突耗耗は從、1次除去では効果的と考えられる。洗浄濃度～洗浄時間曲線は通常①初期高濃度が急速に減衰し、②以後の減衰は緩慢で低濃度が長時間持続するのか特徴であるが、①、②の段階はそれぞれ2次及び1次除去中の濃度変化の様相を示すものである。流体の平均せん断応力(τ)は、 $\tau = \rho g V^2 / 2$ とし、 ρ ：水の密度、 g ：重力加速度とすると、 $\tau = \rho g V^2 / 2$ である。したがつて洗浄効果は τ によって評価することができます。以下 G 、 τ と諸因子との関係について述べる。

II. G と諸因子との関係 今、 G ：平均速度の勾配、 τ ：水の動粘性係数、 S_s ：砂粒の比重、 f_e ：膨脹砂戸の間げき率、 v_s ：砂粒の沈降速度、 g ：重力の加速度とすると、逆洗浄では

$$G = \sqrt{\frac{g}{\tau} \cdot (S_s - 1)(1 - f_e) v_s} \quad (1)$$

$$\text{一方、砂戸膨脹率} f_e = \frac{v_s}{v_0} \cdot (v_0 > v_s \geq 0) \text{ を (1) 式に代入して } G = \sqrt{\frac{g}{\tau} (S_s - 1) (v_s - v_0)} \quad (2)$$

(2)式中、 v_s 、 v_0 は e （膨脹率）の、 τ は t （水温）の関数だから G の主要因子は e 、 v_0 、 t のほか粒径(d)をも考える。

(i) 膨脹率(e)との関係 (1)式で g, S_s, t, d を一定として f_e, v_s と e の関数で表わし、それらを (1)に代入して

$$G = k_e (e + f)^{\frac{n}{2(2-n)}} (1 + e)^{-\frac{1}{2-n}}, \quad \text{ここで } k_e = \sqrt{\frac{g}{\tau} \cdot (S_s - 1) \beta (1 - f)} = \text{const.} > 0,$$

$$\text{上式中 } \beta = \left\{ \frac{48(S_s - 1)d}{3\alpha(d/v)^{-n}} \right\}^{\frac{1}{2-n}} = \text{const.} > 0 \quad (3)$$

d, n は d の関数だからここでは一定

$$(3)式から \frac{dG}{de} = \frac{k_e}{2-n} (e + f)^{\frac{3n-4}{2(2-n)}} (1 + e)^{\frac{n-3}{2-n}} \left\{ \frac{n}{2}(1+e) - (e+f) \right\} \quad (4)$$

通常の3砂では $n < 2$ だから G の正負は右辺最終項の正負で決まる。この e ～ G 関係は図-1（略図）のようである。

図-1 max G は相当高い e で起つており、実際の場合は $e = 15\sim30\%$ の程度で G は e に同調して増減する。 $max G$ に対応する限界膨脹率 e^* は

$$e^* = (n - 2f) / (2 - n) \quad (5)$$

この式によると計算値は図-1の実験値に近似する。図の反曲点は対応する e の値が大粒径(2~12mm)の0.3より小粒径(0.4~0.3mm)の0.6の間に変化することは、膨脹率の変化に応じて洗浄効果の変化状態が粒径によって異ることを意味する。

(ii) 洗浄速度(v_0)との関係 (2)式を

$$G = K (\beta v_0^{\frac{n}{2}} - v_0)^{\frac{1}{2}}, \quad K = \sqrt{\frac{g}{\tau} (S_s - 1)} > 0 \quad (6)$$

と書きかえ、 d, S_s, t を一定とすれば β, K は const. となるから

$$\frac{dG}{dv_0} = \frac{K}{2} (\beta v_0^{\frac{n}{2}} - v_0)^{-\frac{1}{2}} \cdot \left(\frac{n}{2} \beta v_0^{\frac{n}{2}-1} - 1 \right) \quad (7)$$

式中、 $\frac{K}{2} (\beta v_0^{\frac{n}{2}} - v_0)^{-\frac{1}{2}} > 0$ (何とはば $\beta v_0^{\frac{n}{2}} = v_s$, $v_s - v_0 > 0$) であるから $\frac{dG}{dv_0}$ の正負は v_0 のみにかかっている。

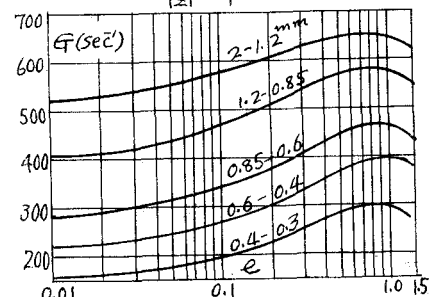


図-2 によると $\max G$ に対応する限界洗浄速度 v_0^* は

$$v_0^* = \left(\frac{2}{n\beta} \right)^{\frac{n}{n-2}} \quad \dots \dots \dots \quad (8)$$

となる。n が d の関数だから v_0^* は d に比例して変化する。 v_0^* の理論値と実験値は近似し、小粒径ほど v_0^* が小さく、通常の v_0 の範囲では G は v_0 に同調するが、 v_0^* を超えると G が減少することは v_0 と G の関係から考えて $e \sim G$ の関係と類似している。図-2(略図)から大粒径の砂質ほど v_0^* が大きく、したがって v_0 の変化が洗浄効果に及ぼす影響は大粒子ほど大きいことがわかる。

(iii) 水温(t)との関係…… d, S_s, v₀ を一定として (2) 式の因子中より, v₀ を t の関数で表わすと、 $G = \alpha (1+at+bt^2)^{\frac{1}{2}} \{ \lambda' (1+at+bt^2)^{\frac{n}{2}} - v_0 \}^{\frac{1}{2}}$

$$\text{式中, } \alpha = \left\{ \frac{\gamma_w g}{c} (S_s - 1) \right\}^{\frac{1}{2}} = \text{const} > 0, \quad (\gamma_w: \text{水の密度, 温度変化無視})$$

$$\lambda' = \left\{ \frac{4}{3} g (S_s - 1) \right\}^{\frac{1}{2}} \alpha^{-\frac{1}{2}} v_0^{\frac{n}{2}} d^{\frac{n+1}{2}} \left(\frac{c}{\gamma_w} \right)^{-\frac{n}{2}} = \text{const} > 0$$

a, b, c はそれぞれ v_0 における常数

$$\text{これから, } \frac{dG}{dt} = \frac{\alpha}{2} (1+at+bt^2)^{\frac{1}{2}} \{ \lambda' (1+at+bt^2)^{\frac{n}{2}} - v_0 \}^{\frac{1}{2}} (a+2bt) \left[\frac{n\lambda'}{2} (1+at+bt^2)^{\frac{n}{2}-1} + (1+at+bt^2)^{\frac{1}{2}} \cdot \{ \lambda' (1+at+bt^2)^{\frac{n}{2}} - v_0 \} \right] \quad \dots \dots \dots \quad (10)$$

(10) 式右辺各項はすべて正だから、 $\frac{dG}{dt} > 0$ である。d ～ G の関係は (10) 式を変形した

$$\frac{dG}{dt} = \frac{\frac{\alpha}{2} (a+2bt)}{(1+at+bt^2)^{\frac{1}{2}}} \cdot \frac{\frac{n}{2} v_0 + (v_0 - v_0)}{(v_0 - v_0)^{\frac{1}{2}}} \quad \dots \dots \dots \quad (11)$$

に実験値を入れて比較計算すると大粒径ほど v_0 が大きいことがわかる。これは洗浄効果に対する水温の影響が大粒径の砂質ほど大きいことを意味するものである。

(iv) 粒径(d)との関係…… t, S_s が一定の場合、 v_0 が一定なら大粒子は e が少、 v_0 が大、小粒子はその反対だから (i) 式から大粒子が小粒子よりも e が大、したがって洗浄効果が大きいことになる。

III. 流体のせん断作用と洗浄効果

(i) e と G の関係…… 簡単のため流体のせん断作用に対する e は粘性応力だけを考えると、

$$e = \gamma_w \nu' G = \mu G \quad \dots \dots \dots \quad (12)$$

ここで μ (水の粘性係数), G は t の関数だから d, S_s が一定なら v_0 を一定と見て (12) 式を次のようになります。

$$e = k \left\{ \lambda' (1+at+bt^2)^{\frac{n}{2}} - v_0 \right\}^{\frac{1}{2}} (1+at+bt^2)^{-\frac{1}{2}}, \text{ 式中 } k = \left\{ C \gamma_w g (S_s - 1) \right\}^{\frac{1}{2}} = \text{const} > 0 \quad \dots \dots \dots \quad (13)$$

$$(13) \text{ 式で } (1+at+bt^2)^{\frac{1}{2}} = \theta \text{ とおくと, } \frac{de}{dt} = k \cdot \frac{(\lambda' \theta^n - v_0)^{\frac{1}{2}}}{\theta^2} \left\{ \frac{n}{2} \lambda' \theta^{n-1} - (\lambda' \theta^n - v_0) \right\} \frac{d\theta}{dt} \quad \dots \dots \dots \quad (14)$$

式中、 $\frac{d\theta}{dt} = \frac{1}{2} (1+at+bt^2)^{-\frac{1}{2}} (a+2bt) > 0, \lambda' \theta^n - v_0 = v_0 - v_0 > 0, \theta > 0, k > 0$ だから $\frac{de}{dt}$ の正負は (14) 式の右辺第2項の正負にかかわり、結局、 $\left(\frac{n}{2} - 1 \right) v_0 + v_0 \geq 0$ すなはち $\frac{v_0}{v_0} \geq 1 - \frac{n}{2}$ ならば $\frac{de}{dt} \geq 0$ $\dots \dots \dots \quad (15)$

一般の e, t では $\frac{v_0}{v_0} > 1 - \frac{n}{2}$ の条件だけを考えればよろしく、これに付けて $\frac{de}{dt} > 0$ をることは実験上明らかである。

(ii) e と G, e との関係…… e が一定なら G ～ e の関係は e を勾配とする直線 $e = M G$ で示され、実験上から $\frac{de}{dt} > 0, \frac{dG}{dt} > 0$ が証明されていき e ～ G の関係は e, G が一定なら e ～ G の関係と比例的なるものとなる。

(iii) 要約…… 以上から e ～ N , (t が一定なら) はともに洗浄効果の特徴を要約すると次のようである。(1). e が一定またはその変化が少なければ通常の e, v_0 よりもかなり高範囲まで(洗浄)効果は e, v_0 に同調する。(2). 通常の砂質では d は G の関数で S_s, v_0 が一定なら e ～ G の関係は e ～ G の関係と比例的となる。(3). 大粒子ほど e の上下にともなう効果の増減が大きい。(4). e, v_0 が一定なら大粒子ほど効果は大きい。(5). e, v_0 が常用範囲を大きく超えると、 e, v_0 が大きいほど効果は減ずる。(6). $e \approx 30\%$ (大粒 2~1.2 mm) ~ $e \approx 60\%$ (小粒 0.4~0.3 mm) 以上では e の増すほど効果の上昇が鈍化する。

以上は均質砂質についての基礎的研究であり、ア化アではこれらの効果の総合と考えられる。

